



---

INFORME FINAL DEL EMBALSE DE MEZALOCHA  
AÑO 2011

---



VNIVERSITAT DE VALÈNCIA

CONSULTOR:  
**UNIVERSITAT DE VALÈNCIA ESTUDI GENERAL**  
**Instituto Cavanilles de Biodiversidad y Biología Evolutiva, Área de Limnología**  
Departamento de Microbiología y Ecología. Facultad de Ciencias Biológicas  
46100 – Burjassot (Valencia)

DICIEMBRE 2011

## ÍNDICE

|   | Página    |
|---|-----------|
| <b><u>1. INTRODUCCIÓN</u></b>   | <b>1</b>  |
| <b><u>2. DESCRIPCIÓN GENERAL DEL EMBALSE Y DE LA CUENCA VERTIENTE</u></b> | <b>2</b>  |
| 2.1. Ámbito geológico y geográfico  | 2         |
| 2.2. Características morfométricas e hidrológicas                         | 2         |
| 2.3. Usos del agua  | 4         |
| 2.4. Registro de zonas protegidas   | 4         |
| <b><u>3. TRABAJOS REALIZADOS</u></b>                                      | <b>5</b>  |
| <b><u>4. DIAGNÓSTICO DE LA SITUACIÓN ACTUAL</u></b>                       | <b>6</b>  |
| 4.1. Características físico-químicas de las aguas                         | 6         |
| 4.2. Hidroquímica del embalse   | 9         |
| 4.3. Fitoplancton y concentración de clorofila.                           | 10        |
| 4.4. Zooplancton  | 14        |
| <b><u>5. DIAGNÓSTICO DEL GRADO TRÓFICO</u></b>                            | <b>17</b> |
| <b><u>6. DIAGNÓSTICO DEL POTENCIAL ECOLÓGICO</u></b>                      | <b>18</b> |

ANEXO I. REPORTAJE FOTOGRÁFICO

## 1. INTRODUCCIÓN

El presente documento recoge los resultados de los trabajos realizados en el embalse de Mezalocha durante los muestreos de 2011 y la interpretación de los mismos, a efectos de proporcionar una referencia que facilite la consulta y explotación de la información obtenida.

En general, se recurre a presentaciones gráficas y sintéticas de la información, acompañadas de un texto conciso, lo que permitirá una consulta ágil y rápida del documento.

En el **Anexo I** se presenta un reportaje fotográfico que refleja el estado del embalse durante el periodo estudiado (verano 2011, correspondiente al año hidrológico 2010-2011).

En apartados sucesivos se comentan los siguientes aspectos:

- Resultados del estudio en el embalse (FASE DE CARACTERIZACIÓN) de todos los aspectos tratados (hidrológicos, fisicoquímicos y biológicos), que culminan en el diagnóstico del grado trófico.
- Clasificación del “Potencial Ecológico”, tras la aplicación de los indicadores biológicos y fisicoquímicos propuestos en la Directiva Marco del Agua.

## 2. DESCRIPCIÓN GENERAL DEL EMBALSE Y DE LA CUENCA VERTIENTE

### 2.1. Ámbito geológico y geográfico

En sentido amplio, la cuenca del Embalse de Mezalocha, se enclava entre materiales del Jurásico y Cuaternario, pertenecientes a las Eras del Mesozoico y del Cenozoico.

Concretamente, del Jurásico Piso Kimmeridgiense -Malm (Fm. Ritmita calcárea de Ioriguilla y calizas con oncolitos de Higueruelas), con calizas y margocalizas y calizas con oncolitos. Y del Cuaternario con colusiones compuestos de cantos angulosos en matriz arcillosa; conos de deyección con gravas, arenas, limos y arcillas; y terrazas con cantos y gravas.

El embalse de Mezalocha se sitúa dentro del término municipal de Mezalocha en la provincia de Zaragoza. Regula las aguas del río Huerva.

### 2.2. Características morfométricas e hidrológicas

Se trata de un embalse de pequeñas dimensiones, de geometría alargada y ondulada.

La cuenca vertiente al embalse de Mezalocha tiene una superficie total de 1033,71 km<sup>2</sup>.

El embalse tiene una capacidad total de 3,92 hm<sup>3</sup>., que coincide con la capacidad útil. Caracterizado por una profundidad media de 10 m., siendo la profundidad máxima de 26 m.

En el **Cuadro 1** se presentan las características morfométricas del embalse.

**CUADRO 1**  
**CARACTERÍSTICAS MORFOMÉTRICAS DEL EMBALSE DE MEZALOCHA**

|                            |                      |
|----------------------------|----------------------|
| Capacidad total N.M.N.     | 3,92 hm <sup>3</sup> |
| Capacidad útil             | 3,92 hm <sup>3</sup> |
| Superficie inundada        | 75 ha                |
| Cota máximo embalse normal | 472,5 msnm           |

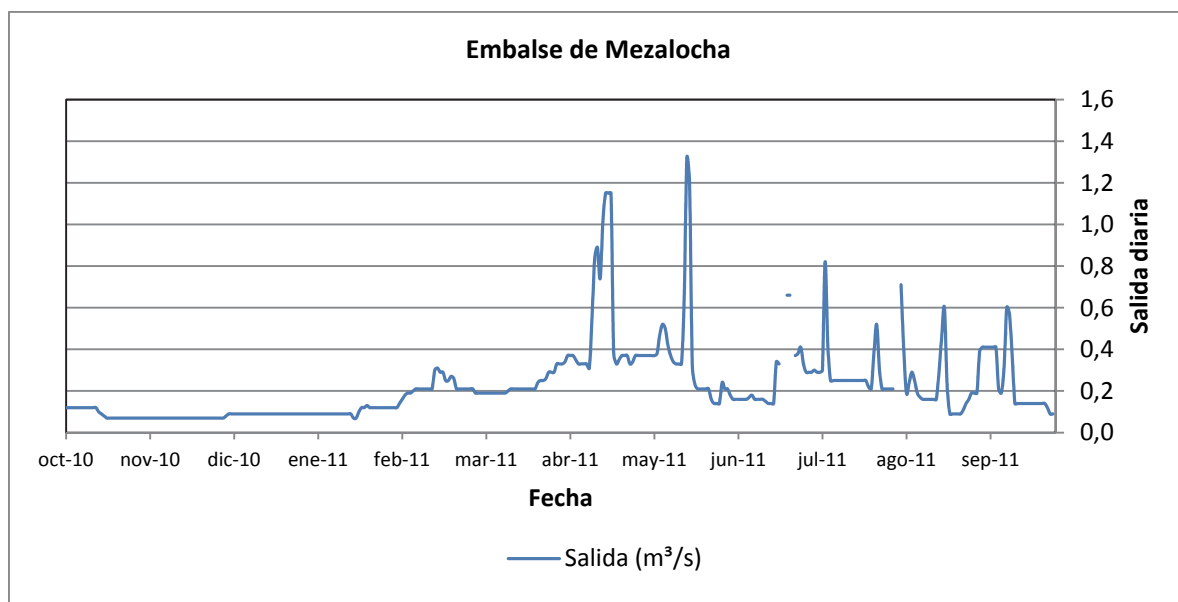
Tipo de clasificación: 10. Monomictico, calcáreo de zonas no húmedas, pertenecientes a ríos de cabecera y tramos altos.

Se trata de un embalse monomictico, ubicado en zonas no húmedas de cabecera y tramos altos de geología calcárea. En el momento del muestreo, no existe termoclina. El límite inferior de la capa fótica en verano se encuentra alrededor de los 3 metros de profundidad, medida con medidor fotoeléctrico; sin embargo, estimada por la visión del Disco de Secchi es de 1,7 m.

El tiempo de residencia hidráulica media en el embalse de Mezalocha para el año hidrológico 2010-2011 ha sido de 0,39 meses.

En el **GRÁFICO 1** se presentan los valores diarios de salida media del embalse correspondientes al año hidrológico 2010-2011.

**GRÁFICO 1**  
SALIDA DURANTE EL AÑO HIDROLÓGICO 2010-2011



### **2.3. Usos del agua**

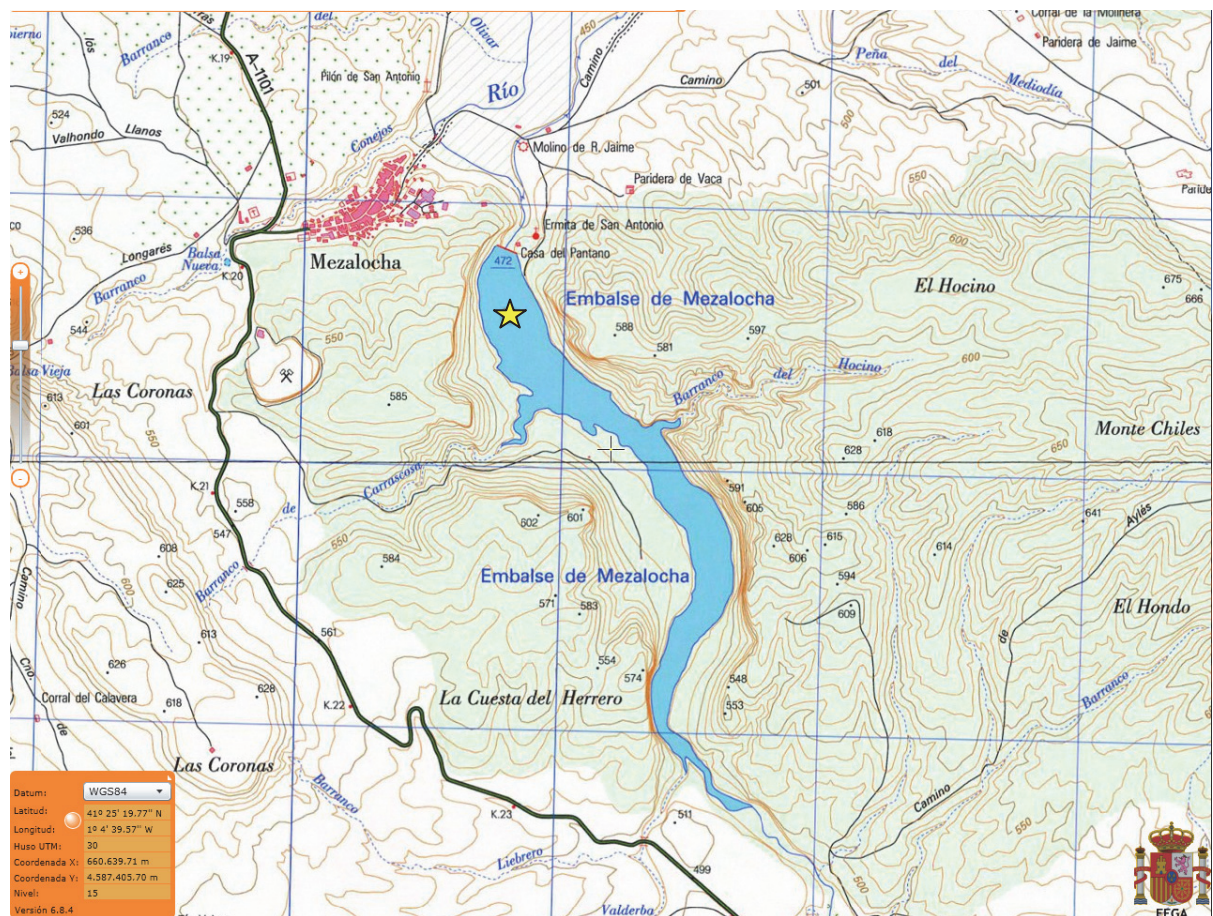
Las aguas del embalse se destinan principalmente a los regadíos. Los usos recreativos y deportivos también son significativos, permitiéndose en este embalse la navegación a remo, no siendo apto para navegar a motor y a vela.

### **2.4. Registro de zonas protegidas**

El embalse de Mezalocha forma parte del Registro de Zonas Protegidas elaborado por la Confederación Hidrográfica del Ebro, en contestación al artículo 6 de la Directiva Marco del Agua, en la categoría de zonas de protección de hábitat o especie (Punto Red Natura 2000: ZEPA ES0000300, Río Huerva y Las Planas).

### 3. TRABAJOS REALIZADOS

Para acometer la caracterización del embalse se ha ubicado una estación de muestreo en las inmediaciones de la presa (ver **Figura 1**). Se ha completado una campaña de muestreo el 6 de Julio de 2011, en la que se midieron *in situ* los parámetros físico-químicos y el Disco de Secchi en la columna de agua, se tomó una muestra de agua integrada para los análisis químicos y se realizaron muestreos de fito y zooplancton.

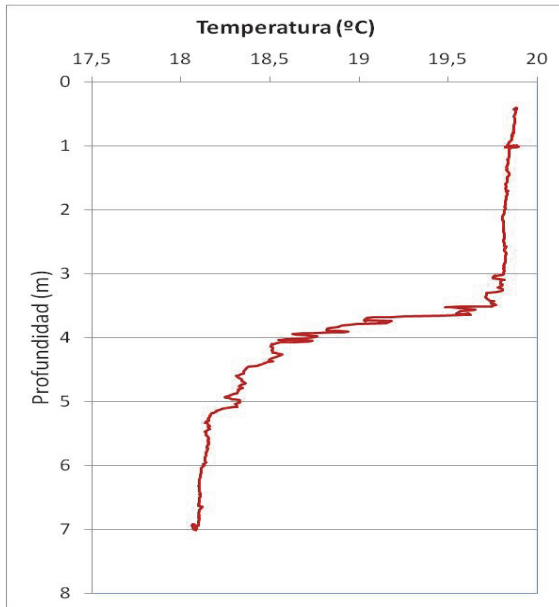


**Figura 1.** Localización de la estación de muestreo en el embalse.

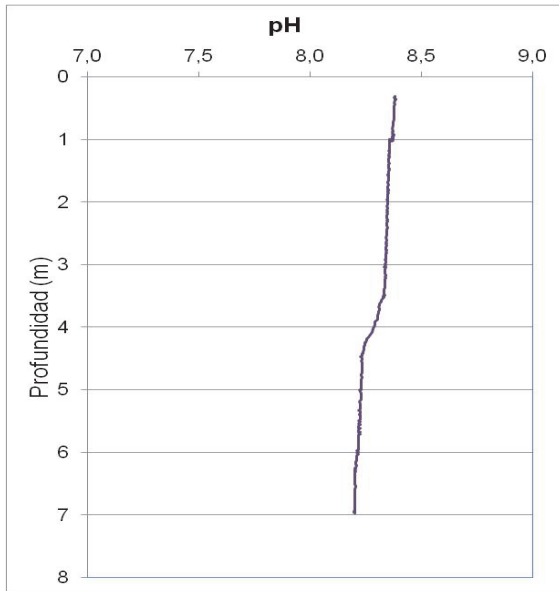
## 4. DIAGNÓSTICO DE LA SITUACIÓN ACTUAL

### 4.1. Características físico-químicas de las aguas

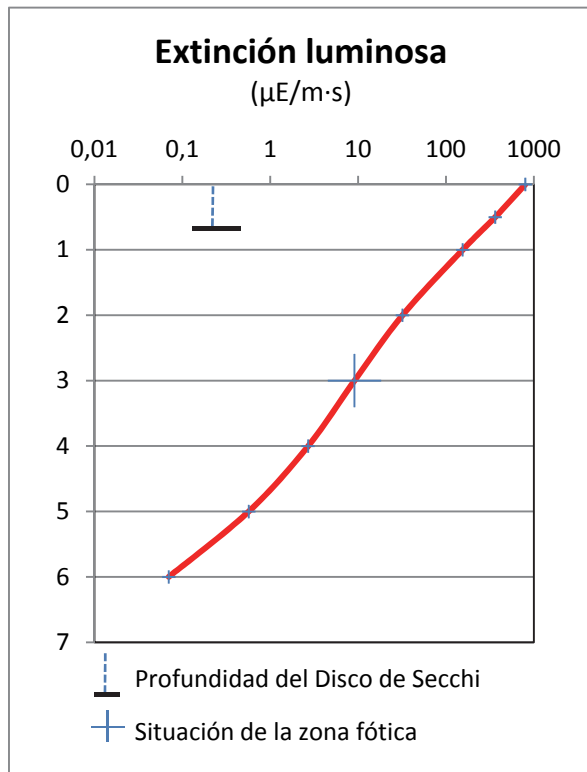
De los resultados obtenidos se desprenden las siguientes apreciaciones:



La temperatura del agua oscila entre los 18,1  $^{\circ}\text{C}$  – en el fondo- y los 19,8  $^{\circ}\text{C}$  - máximo registrado en superficie-. En el momento del muestreo (Julio 2011) no hay estratificación térmica.

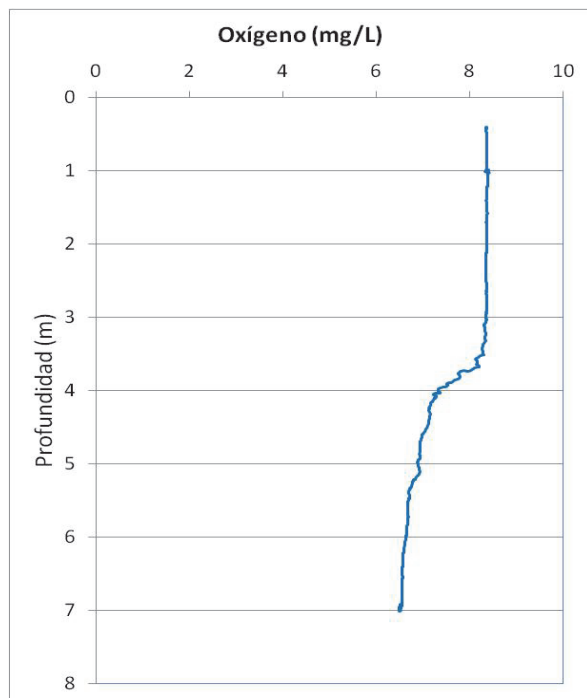


El pH del agua en la superficie es de 8,36. En el fondo del embalse el valor del pH es 8,20.

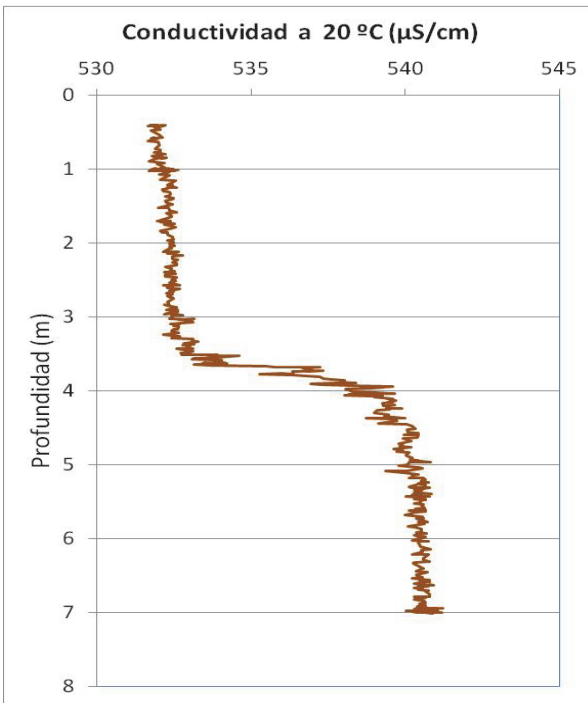


La transparencia del agua registrada en la lectura de disco de Secchi (DS) es de 0,67 m, lo que supone una profundidad de la capa fótica en torno a 1,70 metros. Sin embargo, mediante medidor de PAR se ha obtenido una zona fótica de 3 m.

La turbidez media de la zona eufótica (muestra de 6 m de profundidad) fue de 16,74 NTU.



Las condiciones de oxigenación media de la columna de agua alcanzan una concentración de 7,67 mg/L. No se han detectado condiciones anóxicas (<2 mg O<sub>2</sub>/L).



La conductividad del agua es de 532  $\mu\text{S}/\text{cm}$  en la superficie y de 540  $\mu\text{S}/\text{cm}$  en el fondo del embalse, siendo éste el valor máximo registrado.

#### 4.2. Hidroquímica del embalse

De los resultados analíticos obtenidos en la campaña de 2011 en la muestra integrada, se desprenden las siguientes apreciaciones:

- La concentración de fósforo total (PT) en la muestra integrada (zona fótica) fue de 29,00 µg P/L.
- La concentración de P soluble fue de 0,49 µg P/L.
- La concentración de nitrógeno total (NT) fue de 3,40 mg N /L.
- La concentración de nitrógeno inorgánico oxidado (nitrato + nitrito, NIO) tomó un valor de 2,74 mg N /L.
- La concentración de amonio ( $\text{NH}_4$ ) resultó ser de 0,015 mg N/L.
- La concentración de sílice tomó un valor de 4,64 mg  $\text{SiO}_2$ /L.
- La alcalinidad en este embalse (zona fótica) fue de 3,26 meq/L.

#### 4.3. Fitoplancton y concentración de clorofila.

En el análisis realizado se han identificado un total de 36 especies, distribuidas en los siguientes grupos taxonómicos:

|                   |    |
|-------------------|----|
| BACILLARIOPHYCEAE | 7  |
| CHRYSORPHYCEAE    | 3  |
| CHLOROPHYTA       | 14 |
| ZYGNEMATOPHYCEAE  | 4  |
| CYANOBACTERIA     | 1  |
| CRYPTOPHYCEAE     | 5  |
| DINOPHYCEAE       | 1  |
| EUGLENOPHYCEAE    | 1  |

La estructura y composición de la comunidad de fitoplancton se resume en el siguiente cuadro:

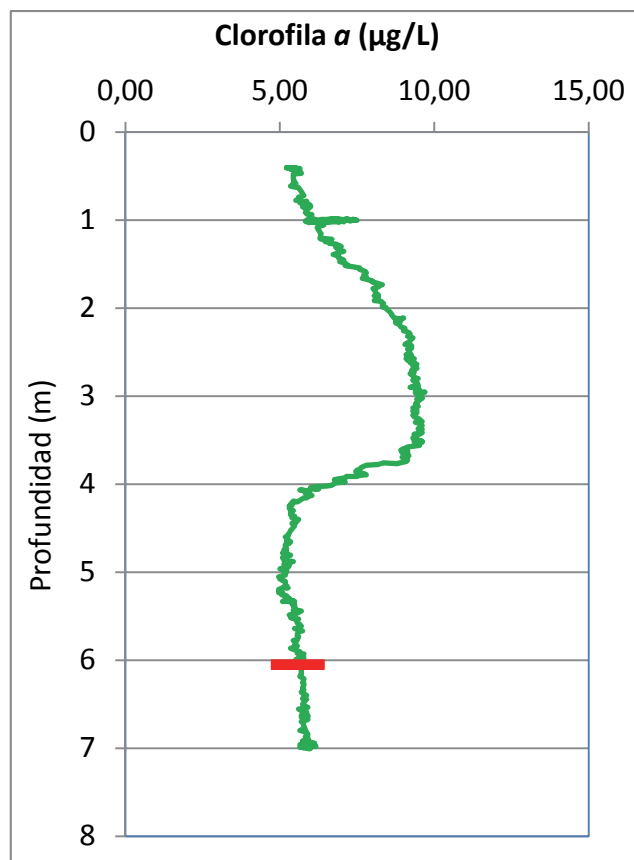
**CUADRO 2**  
ESTRUCTURA Y COMPOSICIÓN DE LA COMUNIDAD DE FITOPLANCTON

| PARÁMETRO                                    | UNIDAD                    | VALOR                         |
|--|---------------------------|-------------------------------|
| Nº CELULAS TOTALES FITOPLANCTON              | nº cel/ml                 | 723,49                        |
| BIOVOLUMEN TOTAL FITOPLANCTON                | $\mu\text{m}^3/\text{ml}$ | 489719                        |
| CLASE PREDOMINANTE FITOPLANCTON (DENSIDAD)   |                           | Chlorophyta                   |
| Nº células/ml                                |                           | 338,00                        |
| ESPECIE PREDOMINANTE FITOPLANCTON (DENSIDAD) |                           | <i>Plagioselmis lacustris</i> |
| Nº células/ml                                |                           | 97,77                         |
| CLASE PREDOMINANTE FITOPLANCTON (BIOVOLUMEN) |                           | Chlorophyta                   |
| $\mu\text{m}^3/\text{ml}$                    |                           | 217985                        |

| PARÁMETRO   | UNIDAD | VALOR                    |
|---|--------|--------------------------|
| ESPECIE PREDOMINANTE<br>FITOPLANCTON (BIOVOLUMEN) |        | <i>Cryptomonas erosa</i> |
| $\mu\text{m}^3/\text{ml}$                         |        | 137603                   |

La diversidad calculada según el índice de Shannon-Wiener ha sido de 4,60.

La concentración de clorofila fue de 6,89  $\mu\text{g/L}$  en la muestra integrada (profundidad señalada en la figura con una línea roja). Se observa en el perfil medido por fluorimetría que el máximo de clorofila se sitúa a los 3 m de profundidad.



La composición de la población fitoplanctónica de la muestra integrada de la zona fótica indicando su abundancia y biovolumen, y la densidad cualitativa de la muestra integrada de fitoplancton del muestreo vertical con red de plancton muestran los resultados del cuadro siguiente:

| COMPOSICIÓN   | ABUNDANCIA | BIOVOLUMEN          | CUALITATIVO |
|---|------------|---------------------|-------------|
| FITOPLANCTON  | cél./ml    | µm <sup>3</sup> /ml |             |
| <b>BACILLARIOPHYCEAE/CENTRALES/</b>   |            |                     |             |
| <i>Cyclotella cyclopuncta</i>   | 58,66      | 5529                |             |
| <i>Cyclotella radiosa</i>   | 8,38       | 1843                | 1           |
| <b>BACILLARIOPHYCEAE /PENNALES/</b>   |            |                     |             |
| <i>Achnanthidium minutissimum (=Achnanthes minutissima)</i>                   | 2,79       | 527                 | 1           |
| <i>Cymatopleura solea</i>   |            |                     | 1           |
| <i>Encyonema minutum (=Cymbella minuta)</i>                                   | 2,79       | 1448                | 1           |
| <i>Nitzschia acicularis</i>   | 2,79       | 1788                | 1           |
| <i>Nitzschia palea</i>  | 16,76      | 8916                | 2           |
| <i>Surirella biseriata</i>  |            |                     | 1           |
| <i>Synedra ulna</i>   | 13,97      | 22068               | 1           |
| <b>CHRYSTOPHYCEAE</b>   |            |                     |             |
| <i>Chrysococcus sp.</i>   | 13,97      | 585                 |             |
| <i>Dinobryon divergens</i>  |            |                     | 1           |
| <i>Kephyrion rubri-claustri</i>   | 2,79       | 92                  |             |
| <i>Ochromonas sp.</i>   | 19,55      | 11196               |             |
| <b>CHLOROPHYTA</b>  |            |                     |             |
| <i>Acutodesmus obliquus (=Scenedesmus obliquus=Scenedesmus acutus)</i>        | 11,17      | 2808                | 1           |
| <i>Coelastrum microporum</i>  | 8,38       | 1720                | 1           |
| <i>Crucigenia tetrapedia</i>  | 33,52      | 6637                |             |
| <i>Desmodesmus intermedius (=Scenedesmus intermedius)</i>                     | 16,76      | 1896                |             |
| <i>Monactinus simplex (=Pediastrum simplex)</i>                               | 44,69      | 108116              | 1           |
| <i>Monoraphidium contortum</i>  | 53,07      | 2001                | 1           |
| <i>Monoraphidium komarkovae</i>   | 41,90      | 6713                | 1           |
| <i>Monoraphidium minutum</i>  | 25,14      | 592                 |             |
| <i>Oocystis borgei</i>  | 16,76      | 1676                | 1           |
| <i>Pseudodidymocystis planctonica</i><br>( <i>=Didymocystis planctonica</i> ) | 22,35      | 421                 |             |

| COMPOSICIÓN  | ABUNDANCIA    | BIOVOLUMEN          | CUALITATIVO |
|--|---------------|---------------------|-------------|
| FITOPLANCTON   | cél./ml       | µm <sup>3</sup> /ml |             |
| <i>Pseudopediastrum boryanum</i> (= <i>Pediastrum boryanum</i> )                               | 22,35         | 77226               | 1           |
| <i>Saturnella corticola</i>  |               |                     | 1           |
| <i>Sphaerocystis planctonica</i>   | 22,35         | 4423                | 1           |
| <i>Tetraedron minimum</i>  | 8,38          | 2145                |             |
| <i>Tetrastrum komarekii</i>  | 11,17         | 1609                |             |
| <b>ZYGNEMATO PHYCEAE</b>   |               |                     |             |
| <i>Closterium acutum</i>   | 5,59          | 1243                | 1           |
| <i>Cosmarium bioculatum</i>  | 2,79          | 614                 | 1           |
| <i>Cosmarium sphagnicolum</i>  | 5,59          | 878                 | 1           |
| <i>Staurastrum</i> sp. pequeño   | 2,79          | 10662               | 1           |
| <b>CYANOBACTERIA</b>   |               |                     |             |
| <i>Oscillatoria</i> sp.  | 30,73         | 386                 | 1           |
| <b>CRYPTOPHYCEAE</b>   |               |                     |             |
| <i>Cryptomonas erosa</i>   | 44,69         | 137603              | 1           |
| <i>Cryptomonas marssonii</i>   | 11,17         | 6365                | 1           |
| <i>Cryptomonas ovata</i>   | 13,97         | 22115               | 1           |
| <i>Plagioselmis</i> (= <i>Rhodomonas</i> ) <i>lacustris</i>                                    | 97,77         | 12900               | 2           |
| <i>Plagioselmis nannoplanctica</i> (= <i>Rhodomonas lacustris</i> var. <i>nannoplanctica</i> ) | 13,97         | 1280                | 1           |
| <b>DINOPHYCEAE</b>   |               |                     |             |
| <i>Peridinium umbonatum</i>  | 2,79          | 6661                | 1           |
| <b>EUGLENOPHYCEAE</b>  |               |                     |             |
| <i>Phacus caudatus</i>   |               |                     | 1           |
| <i>Phacus longicauda</i>   |               |                     | 1           |
| <i>Strombomonas fluviatilis</i>  | 11,17         | 17037               | 1           |
| <b>TOTAL BACILLARIOPHYCEAE</b>   | <b>106,15</b> | <b>42118</b>        |             |
| <b>TOTAL CHRYSOPHYCEAE</b>   | <b>36,31</b>  | <b>11873</b>        |             |
| <b>TOTAL SYNUROPHYCEAE</b>   | <b>0,00</b>   | <b>0</b>            |             |
| <b>TOTAL XANTHOPHYCEAE</b>   | <b>0,00</b>   | <b>0</b>            |             |
| <b>TOTAL CHLOROPHYTA</b>   | <b>338,00</b> | <b>217985</b>       |             |
| <b>TOTAL ZYGNEMATO PHYCEAE</b>   | <b>16,76</b>  | <b>13398</b>        |             |
| <b>TOTAL CYANOBACTERIA</b>   | <b>30,73</b>  | <b>386</b>          |             |
| <b>TOTAL CRYPTOPHYCEAE</b>   | <b>181,57</b> | <b>180263</b>       |             |
| <b>TOTAL DINOPHYCEAE</b>   | <b>2,79</b>   | <b>6661</b>         |             |

| COMPOSICIÓN                 | ABUNDANCIA    | BIOVOLUMEN          | CUALITATIVO |
|-----------------------------|---------------|---------------------|-------------|
| FITOPLANCTON                | cél./ml       | μm <sup>3</sup> /ml |             |
| <b>TOTAL EUGLENOPHYCEAE</b> | <b>11,17</b>  | <b>17037</b>        |             |
| <b>TOTAL ALGAS</b>          | <b>723,49</b> | <b>489719</b>       |             |

| Clases de abundancia | % de presencia |
|----------------------|----------------|
| 1                    | <9             |
| 2                    | 10-24          |
| 3                    | 25-60          |
| 4                    | 61-99          |
| 5                    | >99            |

#### 4.4. Zooplancton

En el análisis de zooplancton de las muestras del embalse de Mezalocha se han identificado un total de 14 especies, distribuidas en los siguientes grupos taxonómicos:

- 2 Cladocera
- 3 Copepoda
- 9 Rotifera

La estructura y composición de la comunidad de zooplancton se resume en el siguiente cuadro (**Cuadro 3**)

**CUADRO 3**  
ESTRUCTURA Y COMPOSICIÓN DE LA COMUNIDAD DE ZOOPLANCTON

| PARÁMETRO                 | UNIDAD       | VALOR  |
|---------------------------|--------------|--------|
| PROFUNDIDAD ZOOPLANCTON   | m            | 4,0    |
| DENSIDAD TOTAL            | individuos/L | 277,31 |
| BIOMASA TOTAL             | µg/L         | 64,66  |
| Diversidad Shannon-Wiener |              | 2,92   |

| PARÁMETRO                                     | UNIDAD             | VALOR   |
|---|--------------------|---|
| CLASE PREDOMINANTE<br>(DENSIDAD)              |                    | Rotíferos                                       |
| individuos/L                                  |                    | 206,15  |
| ESPECIE PREDOMINANTE<br>(DENSIDAD)            |                    | <i>Keratella cochlearis</i> subsp. <i>tecta</i> |
| individuos/L                                  |                    | 72,31   |
| CLASE PREDOMINANTE<br>ZOOPLANCTON (BIOMASA)   |                    | Copépodos                                       |
| µg/L  |                    | 27,03   |
| ESPECIE PREDOMINANTE<br>ZOOPLANCTON (BIOMASA) |                    | <i>Bosmina longirostris</i>                     |
| µg/L  |                    | 22,00   |
| COLUMNA AGUA INTEGRADA<br>(red vertical)      |                    | 0 – 6,5 m                                       |
| CLADÓCEROS: 3,14 %                            | COPÉPODOS: 54,45 % | ROTÍFEROS: 42,41 %                              |

La composición detallada de la población zooplanctónica presente en la muestra cuantitativa de zooplancton indicando la densidad y biomasa, y el porcentaje de las especies presentes en la muestra integrada de la red vertical, se muestran en el cuadro siguiente:

| COMPOSICIÓN                      | ABUNDANCIA | BIOMASA | PORCENTAJE |
|----------------------------------|------------|---------|------------|
| ZOOPLANCTON                      | Ind./L     | µg/L    |            |
| <b>CLADÓCEROS</b>                |            |         |            |
| <i>Bosmina longirostris</i>      | 16,92      | 22,00   | 1,31       |
| <i>Ceriodaphnia pulchella</i>    |            |         | 0,52       |
| <i>Daphnia parvula</i>           | 0,19       | 0,58    | 0,52       |
| <i>Diaphanosoma brachyurum</i>   |            |         | 0,79       |
| <b>COPÉPODOS</b>                 |            |         |            |
| <i>Acanthocyclops americanus</i> | 25,58      | 21,26   | 9,95       |
| <i>Cyclops vicinus</i>           | 2,31       | 1,85    | 2,62       |

| COMPOSICIÓN                                     | ABUNDANCIA    | BIOMASA      | PORCENTAJE   |
|---|---------------|--------------|--------------|
|   | Ind./L        | µg/L         |              |
| ZOOPLANCTON                                     |               |              |              |
| Orden Cyclopoida                                | 26,15         | 3,92         | 41,88        |
| <b>ROTÍFEROS</b>                                |               |              |              |
| <i>Ascomorpha saltans</i>                       |               |              | 0,26         |
| <i>Asplanchna girodi</i>                        | 3,08          | 2,15         | 0,52         |
| <i>Keratella cochlearis</i>                     | 50,77         | 2,54         | 9,42         |
| <i>Keratella cochlearis</i> subsp. <i>tecta</i> | 72,31         | 3,62         | 7,85         |
| <i>Keratella quadrata</i>                       | 1,54          | 0,19         | 0,26         |
| <i>Keratella tropica</i>                        | 3,08          | 0,38         | 0,26         |
| <i>Polyarthra luminosa</i>                      | 52,31         | 2,67         | 18,32        |
| <i>Polyarthra major</i>                         | 18,46         | 2,40         | 4,71         |
| <i>Synchaeta oblonga</i>                        | 1,54          | 0,08         | 0,26         |
| <i>Synchaeta pectinata</i>                      | 3,08          | 1,02         | 0,52         |
| <b>Total Cladóceros</b>                         | <b>17,12</b>  | <b>22,58</b> | <b>3,14</b>  |
| <b>Total Copépodos</b>                          | <b>54,04</b>  | <b>27,03</b> | <b>54,45</b> |
| <b>Total Rotíferos</b>                          | <b>206,15</b> | <b>15,05</b> | <b>42,41</b> |
| <b>Total</b>                                    | <b>277,31</b> | <b>64,66</b> | <b>100</b>   |

## 5. DIAGNÓSTICO DEL GRADO TRÓFICO

Se han considerando los indicadores especificados en el **Cuadro 4** para los valores medios en el embalse, estableciéndose el estado trófico global del embalse según la metodología descrita en la sección 5 de la MEMORIA DEL ESTUDIO.

**CUADRO 4**  
PARÁMETROS INDICADORES Y RANGOS DE ESTADO TRÓFICO

| Parámetros   Estado Trófico                | Ultraoligotrófico | Oligotrófico     | Mesotrófico      | Eutrófico        | Hipereutrófico  |
|--|-------------------|------------------|------------------|------------------|-----------------|
| Concentración P ( $\mu\text{g P/L}$ )      | 0-4               | 4-10             | 10-35            | 35-100           | >100            |
| Disco de Secchi (m)                        | >6                | 6-3              | 3-1,5            | 1,5-0,7          | <0,7            |
| Clorofila a ( $\mu\text{g/L}$ ) epilimnion | 0-1               | 1-2,5            | 2,5-8            | 8,0-25           | >25             |
| Densidad algal (cel/ml)                    | <100              | 100-1000         | 1000-10000       | 10000-100000     | >100000         |
| <b>VALOR PROMEDIO FINAL</b>                | <b>&gt; 4,2</b>   | <b>3,4 – 4,2</b> | <b>2,6 – 3,4</b> | <b>1,8 – 2,6</b> | <b>&lt; 1,8</b> |

En el **Cuadro 5** se incluye el estado trófico indicado por cada uno de los parámetros, así como la catalogación de la masa de agua según la valoración de este estado trófico final.

**CUADRO 5**  
DIAGNOSTICO DEL ESTADO TROFICO DEL EMBALSE DE MEZALOCHA

| INDICADOR                   | VALOR       | ESTADO TRÓFICO     |
|-----------------------------|-------------|--------------------|
| P TOTAL                     | 29,00       | Mesotrófico        |
| CLOROFILA a                 | 6,89        | Mesotrófico        |
| DISCO SECCHI                | 0,67        | Hipereutrófico     |
| DENSIDAD ALGAL              | 723         | Oligotrófico       |
| <b>ESTADO TROFICO FINAL</b> | <b>2,75</b> | <b>MESOTRÓFICO</b> |

Atendiendo a los criterios seleccionados, los resultados obtenidos del parámetro fósforo total (PT) y clorofila a sitúan al embalse en rangos de mesotrofia. El parámetro transparencia (DS) presentan un resultado de hipereutrofia. Y la densidad algal califica al embalse como oligotrófico. Combinando todos los indicadores el estado trófico final para el embalse de MEZALOCHA ha resultado ser **MESOTRÓFICO**.

## 6. DIAGNOSTICO DEL POTENCIAL ECOLÓGICO

### a) Aproximación experimental (*PEexp*)

Se han considerando los indicadores especificados en el **Cuadro 6**, estableciéndose el potencial ecológico del embalse según la metodología descrita en la sección 6.3, apartado a) de la MEMORIA DEL ESTUDIO.

**CUADRO 6**

PARÁMETROS Y RANGOS PARA LA DETERMINACIÓN DEL POTENCIAL ECOLÓGICO EXPERIMENTAL

| Indicador                          | Elementos     | Parámetros  | Máximo         | Bueno               | Moderado                         | Deficiente                       | Malo             |
|------------------------------------|---------------|---|----------------|---------------------|----------------------------------|----------------------------------|------------------|
| Biológico                          | Fitoplancton  | Densidad algal (cel/ml)                             | <100           | 100-10 <sup>3</sup> | 10 <sup>3</sup> -10 <sup>4</sup> | 10 <sup>4</sup> -10 <sup>5</sup> | >10 <sup>5</sup> |
|                                    |               | Biomasa algal, Clorofila a (µg/L)                   | 0-1            | 1-2,5               | 2,5-8                            | 8,0-25                           | >25              |
|                                    |               | Biovolumen algal (mm <sup>3</sup> /L)               | <0,1           | 0,1-0,5             | 0,5-2                            | 2-8                              | >8               |
|                                    |               | <i>Phytoplankton Assemblage Index (Q)</i>           | >4             | 3-4                 | 2-3                              | 1-2                              | <1               |
|                                    |               | <i>Trophic Index (TI)</i>                           | <2,06          | 2,06-2,79           | 2,79-3,52                        | 3,52-4,25                        | >4,25            |
|                                    |               | <i>Phytoplankton Trophic Index (PTI)</i>            | >4,2           | 3,4-4,2             | 2,6-3,4                          | 1,8-2,6                          | <1,8             |
|                                    |               | <i>Phytoplankton Reservoir Trophic Index (PRTI)</i> | <3,8           | 3,8-6,6             | 6,6-9,4                          | 9,4-12,2                         | >12,2            |
|                                    | Zooplancton   | <i>Zooplankton Reservoir Trophic Index (ZRTI)</i>   | <3,8           | 3,8-6,6             | 6,6-9,4                          | 9,4-12,2                         | >12,2            |
| <i>INDICADOR BIOLÓGICO (1)</i>     |               |   | > 4, 2         | <b>3, 4 -4, 2</b>   | <b>2,6-3,4</b>                   | <b>1, 8 -2, 6</b>                | <b>&lt; 1, 8</b> |
| Fisicoquímico                      | Transparencia | Profundidad Disco de Secchi (m)                     | >6             | 3-6                 | 1, 5 -3                          | 0, 7 -1,5                        | <0, 7            |
|                                    | Oxigenación   | Concentración O <sub>2</sub> (mg O <sub>2</sub> /L) | >8             | 8-6                 | 6-4                              | 4-2                              | <2               |
|                                    | Nutrientes    | Concentración de PT (µg P /L)                       | 0-4            | 4-10                | 10-35                            | 35-100                           | >100             |
| <i>INDICADOR FISICOQUÍMICO (2)</i> |               |   | <b>MPE</b>     | <b>AS FUN</b>       | <b>NO AS FUN</b>                 |                                  |                  |
|                                    |               |   | <b>&gt;4,2</b> | <b>3,4-4,2</b>      | <b>&lt;3,4</b>                   |                                  |                  |

(1) La valoración del indicador biológico se obtiene asignando la calificación del elemento de menor puntuación (fitoplancton o zooplancton) o peor calidad, según la metodología *one out, all out*.

(2) La valoración del indicador fisicoquímico se obtiene realizando la media de las puntuaciones obtenidas para los distintos elementos. Si la media de los 3 elementos es

igual o superior a 4,2 se considera que se cumplen las condiciones fisicoquímicas propias del máximo potencial ecológico (MPE). Si se alcanzan o superan los 3,4 puntos, se considera que las condiciones fisicoquímicas aseguran el funcionamiento del ecosistema (AS.FUN). Si no se alcanzan los 3,4 puntos, el indicador fisicoquímico no asegura el funcionamiento del ecosistema (NO AS.FUN).

La combinación de los dos indicadores, fisicoquímico y biológico, para la obtención del potencial ecológico experimental final sigue el esquema de decisiones indicado en el **Cuadro 7**:

**CUADRO 7**  
COMBINACIÓN DE LOS INDICADORES

| Indicador Biológico | Indicador Fisicoquímico | Potencial Ecológico Experimental |
|---------------------|-------------------------|----------------------------------|
| Máximo              | M P E                   | Máximo                           |
| Máximo              | As Fun                  | Bueno                            |
| Máximo              | No As Fun               | Moderado                         |
| Bueno               | M P E                   | Bueno                            |
| Bueno               | As Fun                  | Bueno                            |
| Bueno               | No As Fun               | Moderado                         |
| Moderado            | Indistinto              | Moderado                         |

En el **Cuadro 8** se incluye el potencial indicado por cada uno de los parámetros e indicadores, así como la catalogación de la masa de agua según el potencial ecológico final.

**CUADRO 8**  
DIAGNOSTICO DEL POTENCIAL ECOLÓGICO DEL EMBALSE DE MEZALOCHA.

| Indicador                      | Elementos     | Parámetros  | Valor             | Potencial         |
|--------------------------------|---------------|---|-------------------|-------------------|
| Biológico                      | Fitoplancton  | Densidad algal(cel/ml)                              | 723               | Bueno             |
|                                |               | Clorofila a ( $\mu\text{g}/\text{L}$ )              | 6,89              | Moderado          |
|                                |               | Biovolumen algal( $\text{mm}^3/\text{L}$ )          | 0,49              | Bueno             |
|                                |               | <i>Phytoplankton Assemblage Index (Q)</i>           | 2,08              | Moderado          |
|                                |               | <i>Phytoplankton Trophic Index (PTI)</i>            | 1,28              | Malo              |
|                                |               | <i>Trophic Index (TI)</i>                           | 1,98              | Máximo            |
|                                | Zooplancton   | <i>Phytoplankton Reservoir Trophic Index (PRTI)</i> | 8,2               | Moderado          |
|                                | Zooplancton   | <i>Zooplankton Reservoir Trophic Index (ZRTI)</i>   | 10,11             | Deficiente        |
| <b>INDICADOR BIOLÓGICO</b>     |               |   | <b>2,0</b>        | <b>DEFICIENTE</b> |
| Fisicoquímico                  | Transparencia | Disco de Secchi(m)                                  | 0,67              | Malo              |
|                                | Oxigenación   | $\text{O}_2$ hipolimnética (mg/LO <sub>2</sub> )    | 7,67              | Bueno             |
|                                | Nutrientes    | Concentración de P( $\mu\text{g}/\text{LP}$ )       | 29,00             | Moderado          |
| <b>INDICADOR FISICOQUÍMICO</b> |               |   | <b>2,7</b>        | <b>NO AS FUN</b>  |
| <b>POTENCIAL ECOLÓGICO</b>     |               |   | <b>DEFICIENTE</b> |                   |

### b) Aproximación normativa (*PEnorm*)

Se han considerando los indicadores, los valores de referencia y los límites de clase bueno-moderado (B/M), así como sus ratios de calidad ecológica (RCE), especificados en los **Cuadros 9 y 10**, estableciéndose el potencial ecológico del embalse según la metodología descrita en la sección 6.3, apartado b) de la MEMORIA DEL ESTUDIO.

### CUADRO 9

VALORES DE REFERENCIA PROPIOS DEL TIPO ( $VR_t$ ) Y LÍMITES DE CAMBIO DE CLASE DE POTENCIAL ECOLÓGICO (B/M, BUENO-MODERADO) DE LOS INDICADORES DE LOS ELEMENTOS DE CALIDAD DE EMBALSES (ORDEN ARM 2656/2008).

| Tipo    | Elemento     | Parámetro   | Indicador                     | $VR_t$ | B/M  | B/M (RCE) |
|---------|--------------|-------------|-------------------------------|--------|------|-----------|
| Tipo 1  | Fitoplancton | Biomasa     | Clorofila a mg/m <sup>3</sup> | 2      | 9,5  | 0,21      |
|         |              |             | Biovolumen mm <sup>3</sup> /L | 0,36   | 1,9  | 0,19      |
|         |              | Composición | Índice de Catalan (IGA)       | 0,1    | 10,6 | 0,97      |
|         |              |             | Porcentaje de cianobacterias  | 0      | 9,2  | 0,91      |
| Tipo 7  | Fitoplancton | Biomasa     | Clorofila a mg/m <sup>3</sup> | 2,6    | 6    | 0,43      |
|         |              |             | Biovolumen mm <sup>3</sup> /L | 0,76   | 2,1  | 0,36      |
|         |              | Composición | Índice de Catalan (IGA)       | 0,61   | 7,7  | 0,98      |
|         |              |             | Porcentaje de cianobacterias  | 0      | 28,5 | 0,72      |
| Tipo 9  | Fitoplancton | Biomasa     | Clorofila a mg/m <sup>3</sup> | 2,6    | 6    | 0,43      |
|         |              |             | Biovolumen mm <sup>3</sup> /L | 0,76   | 2,1  | 0,36      |
|         |              | Composición | Índice de Catalan (IGA)       | 0,61   | 7,7  | 0,98      |
|         |              |             | Porcentaje de cianobacterias  | 0      | 28,5 | 0,72      |
| Tipo 10 | Fitoplancton | Biomasa     | Clorofila a mg/m <sup>3</sup> | 2,6    | 6    | 0,43      |
|         |              |             | Biovolumen mm <sup>3</sup> /L | 0,76   | 2,1  | 0,36      |
|         |              | Composición | Índice de Catalan (IGA)       | 0,61   | 7,7  | 0,98      |
|         |              |             | Porcentaje de cianobacterias  | 0      | 28,5 | 0,72      |
| Tipo 11 | Fitoplancton | Biomasa     | Clorofila a mg/m <sup>3</sup> | 2,6    | 6    | 0,43      |
|         |              |             | Biovolumen mm <sup>3</sup> /L | 0,76   | 2,1  | 0,36      |
|         |              | Composición | Índice de Catalan (IGA)       | 0,61   | 7,7  | 0,98      |
|         |              |             | Porcentaje de cianobacterias  | 0      | 28,5 | 0,72      |

**CUADRO 10**  
**PARÁMETROS, RANGOS DEL RCET Y VALORES PARA LA DETERMINACIÓN DEL  
POTENCIAL ECOLÓGICO NORMATIVO**

| RANGOS DEL RCET                |               |   |            |          |            |  |
|--------------------------------|---------------|---|------------|----------|------------|--|
| Indicador                      | Elementos     | Parámetros  | Máximo     | Bueno    | No alcanza |  |
| Biológico                      | Fitoplancton  | Clorofila a ( $\mu\text{g/L}$ )                     | > 1        | 1-0,43   | < 0,43     |  |
|                                |               | Biovolumen algal ( $\text{mm}^3/\text{L}$ )         | > 1        | 1-0,36   | < 0,36     |  |
|                                |               | Índice de Catalán (IGA)                             | > 1        | 1-0,9822 | < 0,9822   |  |
|                                |               | Porcentaje de cianobacterias                        | > 1        | 1-0,72   | < 0,72     |  |
|                                |               |   | Máximo     | Bueno    | Moderado   |  |
|                                |               |   | Deficiente | Malo     |            |  |
| <b>INDICADOR BIOLÓGICO</b>     |               |   | > 0,8      | 0,6-0,8  | 0,4-0,6    |  |
|                                |               |   | 0,2-0,4    | < 0,2    |            |  |
| RANGOS DE VALORES              |               |   |            |          |            |  |
| Indicador                      | Elementos     | Parámetros  | Máximo     | Bueno    | Moderado   |  |
| Fisicoquímico                  | Transparencia | Disco de Secchi (m)                                 | >6         | 3-6      | 1, 5 -3    |  |
|                                | Oxigenación   | O <sub>2</sub> hipolimnética (mg O <sub>2</sub> /L) | >8         | 8-6      | 6-4        |  |
|                                | Nutrientes    | Concentración de P ( $\mu\text{g P/L}$ )            | 0-4        | 4-10     | 10-35      |  |
|                                |               |   | MPE        | AS FUN   | NO AS FUN  |  |
| <b>INDICADOR FISICOQUÍMICO</b> |               |   | >4,2       | 3,4-4,2  | <3,4       |  |

La combinación de los dos indicadores, fisicoquímico y biológico, para la obtención del potencial ecológico normativo final sigue el esquema de decisiones indicado en el **Cuadro 11**:

**CUADRO 11**  
**COMBINACIÓN DE LOS INDICADORES**

| Indicador Biológico | Indicador Fisicoquímico | Potencial Ecológico Normativo |
|---------------------|-------------------------|-------------------------------|
| Máximo              | MPE                     | Máximo                        |
| Máximo              | As Fun                  | Bueno                         |
| Máximo              | No As Fun               | Moderado                      |
| Bueno               | MPE                     | Bueno                         |
| Bueno               | As Fun                  | Bueno                         |
| Bueno               | No As Fun               | Moderado                      |
| Moderado            | Indistinto              | Moderado                      |

En el **Cuadro 12** se incluye el potencial indicado por cada uno de los parámetros, así como la catalogación de la masa de agua según el potencial ecológico final (*PEnorm*) tras pasar el filtro del indicador fisicoquímico.

### CUADRO 12

#### DIAGNOSTICO DEL POTENCIAL ECOLÓGICO (*PEnorm*) DEL EMBALSE DE MEZALOCHA.

| Indicador                                | Elementos     | Parámetro  | Indicador                                   | Valor | RCE   | RCET        | <i>PEnorm</i>    |  |  |
|--|---------------|--|---|-------|-------|-------------|------------------|--|--|
| Biológico                                | Fitoplancton  | Biomasa  | Clorofila a ( $\mu\text{g/L}$ )             | 6,89  | 0,38  | 0,53        | Bueno            |  |  |
|  |               |  | Biovolumen algal ( $\text{mm}^3/\text{L}$ ) | 0,49  | 1,55  | 1,34        | Máximo           |  |  |
|  |               |  | <b>Media</b>                                |       |       | <b>0,94</b> |                  |  |  |
|  |               | Composición  | <i>Índice de Catalán (IGA)</i>              | 1,77  | 0,997 | 0,93        | No alcanza       |  |  |
|  |               |  | <i>Porcentaje de cianobacterias</i>         | 4,25  | 0,96  | 0,94        | Bueno            |  |  |
|  |               |  | <b>Media</b>                                |       |       | <b>0,94</b> |                  |  |  |
| <b>Media global</b>                      |               |  |   |       |       | <b>0,94</b> |                  |  |  |
| <b>INDICADOR BIOLÓGICO</b>               |               |  |   |       |       | <b>0,94</b> | <b>MÁXIMO</b>    |  |  |
| Indicador                                | Elementos     | Indicador  |   | Valor |       |             | <i>PEnorm</i>    |  |  |
| Fisicoquímico                            | Transparencia | Disco de Secchi (m)                                    |   | 0,67  |       |             | Malo             |  |  |
|  | Oxigenación   | $\text{O}_2$ hipolimnética (mg $\text{O}_2/\text{L}$ ) |   | 7,67  |       |             | Bueno            |  |  |
|  | Nutrientes    | Concentración de P ( $\mu\text{g P/L}$ )               |   | 29,00 |       |             | Moderado         |  |  |
| <b>INDICADOR FISICOQUÍMICO</b>           |               |  |   |       |       | <b>2,7</b>  | <b>NO AS FUN</b> |  |  |
| <b>POTENCIAL ECOLÓGICO <i>PEnorm</i></b> |               |  |   |       |       |             | <b>MODERADO</b>  |  |  |

---

**ANEXO I**  
**REPORTAJE FOTOGRÁFICO**

---



Foto 1: Vista de la presa del embalse



Foto 2: Vista general del embalse